

九州産業大学 工学部 正会員 石堂 繩  
 同 上 学生員 ○山田 政人  
 同 上 " 山下 啓明

## 1. まえがき

本実験の目的は、砂のN値、相対密度( $D_r$ )および上載圧( $P$ )の関係を導いた後、さらにこの三つの関係を内部摩擦角( $\phi$ )に結びつけ合理的に $\phi$ を求めようとするものである。そのために砂の最大、最小間隙比試験によって得られた値と $D_r$ をパラメーターとした値から着目する状態の間隙比を出し、それぞれの密度状態のもとで標準貫入試験を行った。実験装置は室内実験用タンクを用いた。以下に $N-D_r-P$ の関係と $N-\phi-P$ の関係を述べる。

## 2. 試料および実験方法

試料は豊浦標準砂、相馬砂、碎砂(安山岩の変質岩)(各特性を表-1に示す)の三種類の砂を使用し、空気乾燥、飽和状態で所定の $D_r$ になるよう鉄製のタンク(図-1)に詰め、 $P$ は載荷板、ジャッキを用い、タンク底面から30cmの所に土圧計をセットした。 $P$ を0.5, 1.0, 2.0, 3.0 kg/cm<sup>2</sup>とし、各密度状態で標準貫入試験を行った。

## 3. 実験結果ならびに考察

(i)  $N-D_r-P$ の関係 図-2は、本実験のデータから $N-D_r-P$ の関係をグラフにして表したものである。図中の記号○, ×, △, □は試料の空気乾燥状態を表し、●, \*, ▲, ■は試料の飽和状態を表す。各試料をN値の大小で比較すると豊浦標準砂、相馬砂に比べ碎砂は小さくなっている。その要因として碎砂は角的三軸圧縮などでは抵抗力が大きいが、動的な力に対しては粒子骨格が変化しやすく、N値としては他の砂に比べ小さな値が得られたものと考えられる。また空気乾燥、飽和状態の比較は、ほとんど変化なく同じ傾向を示した。

$N-D_r-P$ の関係を表した式に

$$\log e D_r = 0.478 \log e N - 0.262 \log e P + 2.84 \quad ①$$

(Schultze-Menzenbach)

$$N = 2.4 (D_r / 100)^2 (P + 7) \quad ②$$

(Meyerhof)

があり、①式には豊浦標準砂、相馬砂(図-2(a), (b))のように丸味のある粒子で粒度分布の一様なものが通用し、②式には碎砂(図-2(c))のように角張った粒子で粒度分布のよいものが通用される。このように砂の種類によって適用される $N-D_r-P$ 関係式が異なることがわかる。

(ii)  $N-D_r-P-\phi$ の関係 砂地盤の内部摩擦角を推定する式として  $\phi = f(N)$  の形のDunham, 大崎, Peckなどの式があるが、上述のようにN値は $D_r$ ,  $P$ によ

表-1 試料特性

試料	均等係数 $U$	$D_{max}(mm)$	$D_{50}(mm)$	$e_{max}$	$e_{min}$
豊浦標準砂	1.68	0.84	0.188	0.986	0.611
相馬砂	1.44	2.00	0.650	0.922	0.568
碎砂	8.40	4.76	0.840	1.077	0.542

表-2 式③の定数

試料	定数	空気乾燥	飽和	空気乾燥	飽和
豊浦標準砂	0.1475	0.1485	27.18	27.15	
相馬砂	0.1135	0.1170	29.77	29.50	
碎砂	0.1175	0.1350	35.12	30.23	

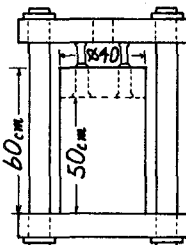
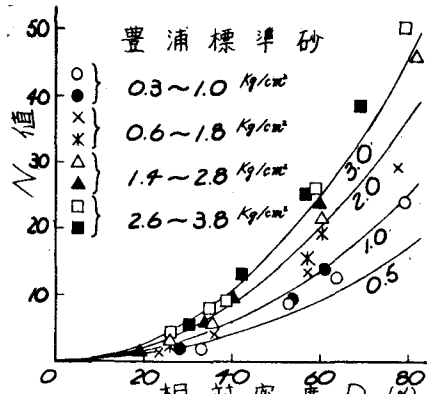


図-1

図-2 (a)  $N-D_r-P$ の関係

て異なり、 $\phi$ は $D_r$ に比例的であることも知られている。

従って $\phi$ は $N$ 値の関数ではなく少なくとも

$\phi = f(N, P)$  の形と考えた方が妥当である。いま

$$\phi = aD_r + b \quad (\text{定数 } a, b \text{ を表-2に示す}) \quad ③$$

と考え、①、②式と合成すると

$$\phi = a_1 (N^{0.478} / P^{0.262}) + b_1 \quad ④$$

$$\phi = a_2 \{N / (P + 7)\}^{1/2} + b_2 \quad ⑤$$

となる。表-3は定数 $a$ ,  $b$ を④, ⑤式に合成させるための試料定数の結果を示す。図-3は実測値を④, ⑤式に代入した結果を示したものである。Dunhamの式から求めた値を曲線で示し、式④, ⑤より求めた値を記号○, ●, △, ▲, □, ■でプロットしてあり、 $\phi = f(N)$ の関係では、必ずしも実測値と一致しないことがわかる。またMeyerhofによると $N$ - $\phi$ 関係は点線で囲まれた範囲内に位置するが、土の種類、 $P$ などに影響されやすいから $N$ - $\phi$ 関係は、相当にばらついたものとなると述べている。豊浦標準砂、相馬砂(図-3(a), (b))は、Meyerhofの示した範囲内にあり、碎砂(図-3(c))は、Meyerhofの示した範囲外にある。

表-3 式④, ⑤の定数

試料	$a_1$		$b_1$	
	空気乾燥	飽和	空気乾燥	飽和
豊浦標準砂	2.5246	2.5417	27.18	27.15
相馬砂	1.9426	2.0025	29.77	29.50
試料	$a_2$		$b_2$	
	空気乾燥	飽和	空気乾燥	飽和
碎砂	7.5846	8.7142	35.12	30.23

(図-3(c))  
は、全く範囲  
外にあるが。  
これはMeyer-  
hofの提案と  
同様な結果を  
表したといえ  
る。以上より  
 $N$ - $\phi$ 関係に  
は $P$ を考慮し  
た式④, ⑤を  
適用する方が  
より実用的な  
結果を得られることが明らかである。

#### 4. あとがき

さらに多くの砂について、データを収集する必要があり、より普遍的関係が求められるよう努力したい。

#### 〈参考文献〉

(1) Gibbs-Holtz 「Research on Determining the Density of Sands by Spoon Penetration Testing」

(2) 土質工学会編「土質調査試験結果の解釈と適応例」

(3) 石堂 榮 著「新耐震設計法に関する技術講習会資料」昭和56年 (P. 1 ~ P. 50)

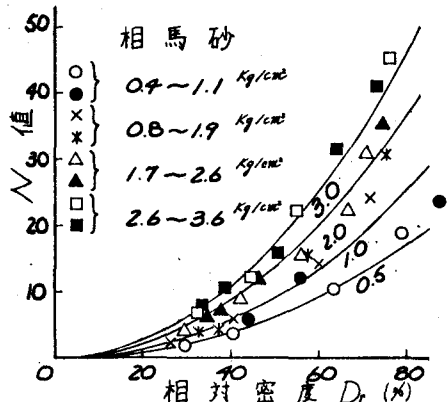


図-2 (b)  $N$ - $Dr$ - $P$ の関係

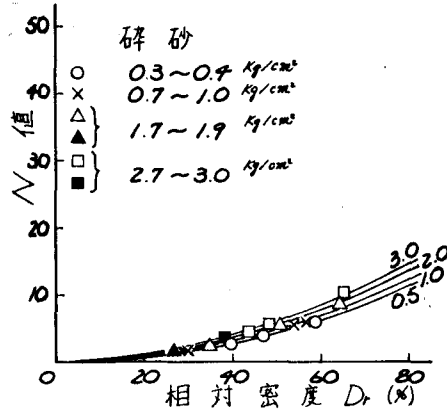


図-2 (c)  $N$ - $Dr$ - $P$ の関係

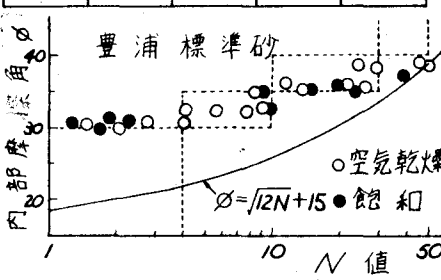


図-3 (a)  $N$ - $\phi$ の関係

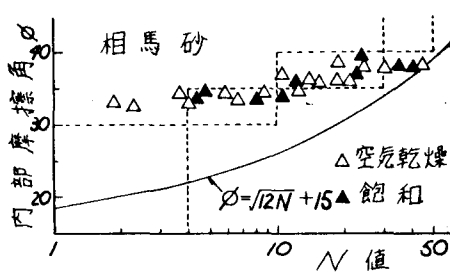


図-3 (b)  $N$ - $\phi$ の関係

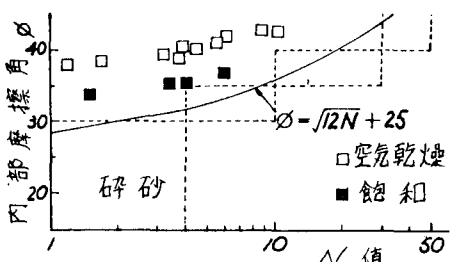


図-3 (c)  $N$ - $\phi$ の関係